

## Using System Dynamics Modeling to Develop the Operation Policy for Yamchi Reservoir (Iran) by Applying Optimum Cropping Pattern

M.R. Fotookian<sup>1 \*</sup>, N. Safari<sup>2</sup>, and M. Zarghami<sup>3</sup>

### Abstract

The operation of reservoirs has become more important due to the increase in water consumption, the climate change impacts, and the geography of Iran. In this study, Yamchi reservoir (Ardabil, Iran) operation is simulated using system dynamics model in the Vensim software environment. The optimum cropping pattern is then proposed based on the virtual water concept, strategic role of products to supply public demands, increased financial benefits, storage ability (in terms of time), and water requirement of products. Next the reservoir operation is assessed in system dynamics model applying the management policy of the optimum cropping pattern and based on three kinds of performance criteria including vulnerability, resiliency, and reliability. The results showed that applying this policy will decrease the water shortages by 43% compared to the business-as-usual status for the period 1388-1410 (2009-2032). The results of sustainability analysis also showed the increase in sustainability indices by applying the optimal cropping pattern. Finally the comparison of the results indicated that the proposed policy were effective and practical in reservoir operation improvement.

## مدل سازی پویای سیستم سد مخزنی یامچی با اعمال الگوی بهینه کشت جهت تدوین سیاست بهرهبرداری

محمد رضا فتوکیان<sup>۱\*</sup>، نسیم صفاری<sup>۲</sup> و مهدی ضرغامی<sup>۳</sup>

### چکیده

با توجه به افزایش مصارف آب، تأثیرات تغییر اقلیم و موقعیت جغرافیایی ایران، مسأله مدیریت مخازن سدها بیش از پیش مورد توجه قرار گرفته است. در این تحقیق، بهرهبرداری از مخزن سد یامچی (اردبیل)، به کمک مدل پویایی سیستم‌ها در محیط نرم افزار Vensim شبیه‌سازی شده است. در ادامه بر مبنای معیارهای مختلف از جمله آب مجازی، نقش محصول در تأمین نیازهای عمومی، سود مالی، قابلیت انبار (از لحاظ زمانی) و نیاز آبی محصولات، الگوی بهینه کشت برای منطقه مورد مطالعه پیشنهاد گردیده است. سپس عملکرد سد، با اعمال سیاست مدیریتی الگوی کشت بهینه در مدل پویایی سیستم سد یامچی و بر اساس سه شاخص آسیب‌پذیری، برگشت پذیری و اطمینان‌پذیری مورد ارزیابی قرار گرفته است. نتایج حاصل نشان می‌دهد که اعمال سیاست الگوی کشت بهینه پیشنهادی سبب کاهش مصرف آب بخش کشاورزی در منطقه مورد مطالعه می‌گردد و در نتیجه موجب کاهش کمبود کلی آب، در حدود ۴۳ درصد در مقایسه با کمبود آب با ادامه روند بهرهبرداری کنونی در بازه زمانی ۱۳۸۸-۱۴۱۰ خواهد شد. نتایج به دست آمده برای پایداری سیستم نیز، نشان‌دهنده افزایش شاخص‌های پایداری با اعمال الگوی بهینه کشت در مقایسه با شرایط فعلی می‌باشد و مقایسه نتایج نمایانگر ارزیابی مؤثر و کارآمد سیاست ارائه شده در تحقیق حاضر، در بهبود عملکرد مخزن سد می‌باشد.

**کلمات کلیدی:** شبیه‌سازی، پویایی سیستم، الگوی بهینه کشت، آب مجازی، سد مخزنی یامچی، VENSIM.

**Keywords:** Simulation, System Dynamics, Optimum Cropping Pattern, Virtual Water, Yamchi Dam, VENSIM.

Received: August 20, 2016

Accepted: January 8, 2017

تاریخ دریافت مقاله: ۹۵/۵/۳۰

تاریخ پذیرش مقاله: ۹۵/۱۰/۱۹

1- M.Sc. in Environment, Dept. of Civil Engineering, University of Tabriz, Iran.  
Email: m\_f\_fotookian92@ms.tabrizu.ac.ir

2- Ph.D. in Water Engineering, Dept. of Civil Engineering, University of Tabriz, Iran

3- Prof., Dept. of Civil Engineering, University of Tabriz, Iran. Email: mzarghami@tabrizu.ac.ir

\*- Corresponding Author

۱- کارشناس ارشد محیط زیست، دانشکده مهندسی عمران، دانشگاه تبریز

۲- دکتری مهندسی آب، دانشکده مهندسی عمران، دانشگاه تبریز

۳- استاد گروه مهندسی آب، دانشکده مهندسی عمران، دانشگاه تبریز

\*- نویسنده مسئول  
بحث و مناظره (Discussion) در مورد این مقاله تا پایان اسفند ۱۳۹۶ امکان‌پذیر است.

## ۱- مقدمه

مجازی بر تنش آب محلی بر اساس تجارت محصولات دانهای در کشور چین را مورد بررسی قرار دادند. نتایج حاکی از تأثیر قابل توجه جریان آب مجازی در تغییر توزیع منابع آب محلی می‌باشد به نحوی که باعث افزایش تنش آبی در مناطق صادرکننده و کاهش تنش در مناطق واردکننده محصولات خواهد بود.

به سبب پیچیدگی سیستم‌های منابع آب، استفاده از مدل‌های شبیه‌سازی با هدف تدوین روشی برای افزایش اطمینان بهره‌برداران در خصوص اتخاذ سیاست‌های سازگاری، مورد توجه قرار گرفته است. یکی از این مدل‌ها، شبیه‌سازی به کمک پویایی سیستم‌ها می‌باشد (Sterman, 2000). امروزه استفاده از مدل پویا، به دلیل وجود محدودیت‌های زیاد در بخش کشاورزی، برای بهبود راندمان تخصیص آب، کاربرد فراوانی پیدا کرده است (Elmahdi et al. 2007). از جمله تحقیقاتی که در آن‌ها از مدل پویایی سیستم‌ها جهت شبیه‌سازی سیستم منابع آب استفاده شده است، می‌توان به موارد ذیل اشاره نمود.

Ahmad et al. (2000) عملکرد مخزن چند منظوره شلمونت را به صورت منفرد، در کشور کانادا با هدف مدیریت سیالاب به کمک مدل پویای سیستم‌ها مورد تجزیه و تحلیل قرار دادند پس از ساخت و تهییه مدل نهایی، شبیه‌سازی برای ۵ سیالاب عمدۀ با تجدید نظر در قوانین بهره‌برداری و ایجاد تغییر در سرریز سد انجام شد که نتایج، کنترل سیالاب در بالادست و پایین دست مخزن را مفید ارزیابی کرد. Simonovic et al. (2004) منابع آب کشور کانادا را با رویکرد پویایی سیستم‌ها مورد بررسی قرار دادند. در این بررسی، دوازده سناریو در بخش‌های جمعیت، توسعه کشاورزی، تولید غذا، سرمایه‌گذاری مالی، تولید انرژی، منابع تجدیدناپذیر و آلودگی اعمال گردید که نتایج، وابستگی شدید توسعه آینده کانادا را به نگهداری کیفیت و تراز آب در سطح قابل قبول نشان دادند. Salavatabar et al. (2006)، مدل تأمین و مصارف آب شهر تهران را با روش پویایی سیستم، جهت ارزیابی روند تأمین، مصارف و عوامل مؤثر بر آن، تهییه و توسعه دادند. Madani and Marino (2009) مبحث مدیریت در حوضه آبریز زاینده‌رود واقع در بخش مرکزی ایران با آب هوای نیمه‌خشک را به کمک مدل پویا مورد بررسی قرار دادند. در نهایت پس از بررسی سناریوهای مختلف، تغییر در سیاست‌های اصلی اتخاذ شده در چند دهه اخیر به طرح‌ریزان منابع آب پیشنهاد گردید. Sheikh Khozani et al. (2011) از مدل پویا جهت بررسی بهره‌برداری از مخزن چند منظوره دامغان واقع در استان سمنان برای افق ۱۴۰ بهره جستند. نتایج نشان دادند که با اجرای سیاست‌های مناسب بهره‌برداری نه تنها می‌توان نیازهای مورد نظر در حالت موجود در حد قابل قبول را تأمین نمود بلکه می‌توان توسعه نیازها را در

کمبود آب در چند دهه اخیر، مسأله تامین آب را به عنوان یکی از اصلی‌ترین عوامل محدودکننده در توسعه همه جانبه حوضه‌های آبریز در حال و آینده تبدیل کرده است. در این میان بخش کشاورزی با مصرف بیشترین آب قابل استحصال به عنوان عمده‌ترین مصرف‌کننده منابع آبی کشور به شمار می‌رود (Ardakanian and Sohrabi, 2006). براین اساس، کاهش مصرف و افزایش بهره‌وری آب در این بخش، باید بیش از سایر مصرف‌کننگان آب مورد توجه قرار گیرد. یکی از راهکارهای مؤثر در راستای کاهش مصرف آب در بخش کشاورزی، ارائه الگوی بهینه کشت با رویکرد آب مجازی می‌باشد.

یکی از راهکارهای نوین مدیریتی در عرصه مدیریت منابع آب، ظهور مفهوم آب مجازی می‌باشد. مفهوم آب مجازی نخستین بار توسط Allen، در دهه ۱۹۹۰ مطرح شد و به معنای میزان آبی است که به صورت مصرف نهان و آشکارا در طی مدت تولید یک کالای معین استفاده می‌گردد (Allen, 1998). با معرفی این رویکرد در مباحث مدیریت منابع آب، نیاز به محاسبه آب مجازی محصولات کشاورزی ضرورت یافت. در ایران مطالعات زیادی پیرامون جایگاه شاخص آب مجازی (Maknoon and Sohrabi, 2011) و مدیریت منابع آب کشور با رویکرد تجارت آب مجازی (Maknoon and Arbabi Bigdeli, 2009) است. Sabouhi and Soltani (2008) الگوی بهینه کشت را در سطح حوضه هریرون و کشف رود استان خراسان، با تأکید بر منافع اجتماعی (مزیت نسبی محصولات) و واردات خالص آب مجازی ارائه کردند. آنان نتیجه گرفتند که پیش از طراحی الگوی کشت، لازم است یک الگوی مناسب از صادرات و واردات محصولات کشاورزی طراحی گردد. Rouhani et al. (2009) مقدار آب مجازی را برای برخی از محصولات مورد ارزیابی قرار دادند. نتایج تحقیقات نشان دادند که حتی یک تغییر در الگوی کشت می‌تواند به لحاظ فنی و اقتصادی از توجیه مناسبی برخوردار باشد. در همین راستا Mekonnen and Hoekstra (2011) رداپای آب را برای برخی از محصولات کشاورزی در سطح جهانی به تفکیک آب سبز، آبی و قهوه‌ای محاسبه کردند. نتایج این بررسی کاهش ۱۲ و ۹ درصدی آب کشاورزی به ازای حداقل عملکرد درآمد و کالری محصولات را نشان داد. همچنین، مطالعه Ranjbar and Footokian (2014) در بررسی روند صادرات و واردات آب مجازی در سطح کشور ایران می‌تواند معیاری جهت کنترل صادراتی و وارداتی بودن محصولات منتخب بر اساس گزارشات FAO باشد. Sun et al. (2016)، تأثیر جریان آب

شیوه‌سازی به صورت جداگانه بررسی شده است. در این مطالعه به عنوان نوآوری تلاش شده است تا عملکرد مخزن سد در مدل پویا با کاربرد مفهوم آب مجازی و همچنین الگوی بهینه کشت و با ترکیب مدل بهینه سازی و شیوه سازی توسعه یابد و معیارهای پایداری سیستم مخزن سد تحت اثر الگوی بهینه کشت به صورت پویا بررسی شده است. همچنین در مقاله حاضر، عدم قطعیت‌های محتمل در مدل سازی مخزن سد و متغیرهای اصلی، با استفاده از مدل مونت کارلو در سیستم پویا مورد تحلیل قرار گرفته است. بنابراین در این تحقیق، علاوه بر بررسی عملکرد نظام پهراهبرداری کنونی مخزن سد یامچی به روش پویایی سیستم‌ها، سعی شده است با هدف قرار دادن بخش کشاورزی و ارائه الگوی کشت بهینه با رویکرد آب مجازی در راستای توسعه حوضه، شیوه نوینی در عرصه ورود مفهوم آب مجازی به مدیریت منابع آبی اتخاذ گردد.

## ۲- مواد و روش‌ها

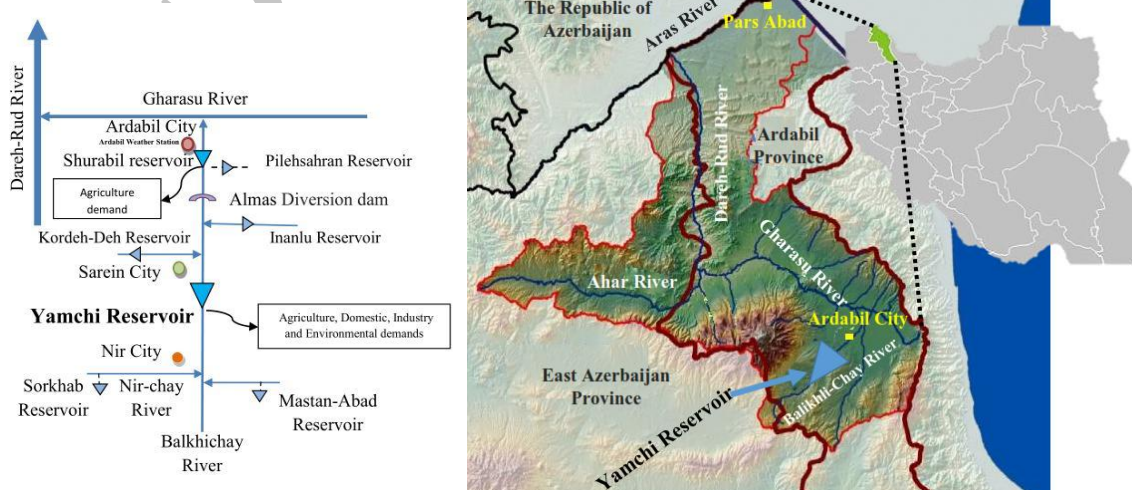
### ۲-۱- منطقه مورد مطالعه

حوضه مورد مطالعه در این تحقیق، حوضه آبریز سد یامچی با وسعت ۷۵. کیلومتر مربع می‌باشد که در شمال غرب ایران و در استان اردبیل واقع شده است (شکل ۱). سد یامچی در حوضه آبریز ارس و بر روی رودخانه بالخی چای از سرشاخه‌های اصلی رودخانه قره‌سو، احداث گردیده است. این سد با ظرفیت ۸۲ میلیون متر مکعب و حجم مفید ۸۰ میلیون متر مکعب در سال ۱۳۸۳ به پهراهبرداری رسیده است.

تراز آب زیرزمینی دشت اردبیل در بازه زمانی ۱۳۶۷-۱۳۸۵ بطور متوسط حدود ۱۸ سانتی‌متر در سال افت دارد.

سیاست‌هایی چون پهراهبرداری استاندارد از مخزن نیز در نظر گرفت. Ghashghaei et al. (2014) تأثیر اولویت نیازها بر جریان پایین دست چهار سد: چراغ‌ویس، مرخز، کردکند و سرات در استان کردستان را به کمک مدل پویا مورد بررسی قرار دادند. در این بررسی، از رویکرد پویا جهت فهم تقابل عوامل ایجاد‌کننده مشکل در حوضه زاینده‌رود استفاده گردید. Zarghami and AmirRahmani (2015) با استفاده از مدل پویایی سیستم، راهکارهای احیای دریاچه ارومیه را مورد بررسی قرار دادند. Yang et al. (2015) یک روش ارزیابی جهت تعیین ظرفیت حوضه آبریز بر مبنای پویایی سیستم‌ها در شهر Tieling واقع در چین ارائه کردند که ترکیبی از اثرات و بازخوردهای مؤلفه‌های اقتصادی، اجتماعی و آب می‌باشد. Kotir et al. (2016) برای مدیریت پایدار منابع آبی و توسعه کشاورزی حوضه رودخانه ولتا در STELLA کشور غنا، از مدل پویایی سیستم‌ها در محیط نرم‌افزار A استفاده کردند. در این بررسی، سه سناریو توسعه زیرساخت‌های آبی، توسعه زمین‌های کشاورزی و اعمال شرایط خشکسالی بر مدل اعمال گردید، که بر طبق نتایج حاصل، علیرغم تأثیر مثبت سناریو اول، در نهایت همه سناریوها با محدودیت رشد مواجه خواهند شد. نتایج مطالعات انجام شده حاکی از توانایی و کاربرد گسترده مدل سازی به کمک پویایی سیستم‌ها در عرصه مدیریت منابع آب می‌باشد.

علی‌رغم تحقیقات فراوان صورت گرفته پیرامون کاربرد مدل پویایی سیستم‌ها در عرصه مدیریت منابع آب، به کاربرد مباحث نوین مدیریتی از جمله مفهوم آب مجازی در پهپود وضعیت سیستم به نسبت اهمیت موضوع، کمتر پرداخته شده است. در اکثر مطالعات انجام شده در تحقیقات قبلی در بررسی عملکرد مخزن سد، مدل بهینه‌سازی و



**Fig. 1- Schematic Diagram of the Water Supply and Demand for Yamchi Reservoir (ARWMC, 2013)**  
**(ARWMC, 2013) شکل ۱- شماتیک منابع عرضه و تقاضای آب در سد یامچی**

مناطقهای دشت اردبیل، که در سال‌های اخیر کشت شده‌اند، تهیه گردید. سپس چهار محصول (تحت عنوان محصولات منتخب) براساس معیارهای ارائه شده در جدول ۱ با لحاظ وزن اختصاص یافته به هر معیار و به کمک روش جمع وزنی ساده پس از نرم‌السازی و مشخص شدن ارزش هر یک از محصولات، انتخاب شدند.

لازم به ذکر است که تعیین محدوده امتیاز برای هر از یک معیارها، براساس دامنه تغییرات داده‌های موجود و با توجه به ویژگی‌های مختص به همان معیار انجام شده است. برای هر محدوده، این امتیازات منحصر به همان معیار می‌باشد و امتیاز بیشتر حاکی از اهمیت هر محصول از نظر معیار مورد نظر می‌باشد که در نهایت، محصولات نهایی با لحاظ تمام معیارها انتخاب می‌شوند. یکی از معیارهای انتخاب محصول، میزان آب مجازی می‌باشد که باید برای تمامی محصولات محاسبه گردد. در ادامه روند محاسبه آب مجازی و انتخاب محصولات به تفضیل بیان خواهد شد.

### ۱-۲-۲- آب مجازی

با تأکید بر اهمیت آب مجازی در مدیریت منابع آب کشور، در این تحقیق تلاش شده است تا محاسبه آب مجازی به عنوان یکی از معیارهای انتخاب محصولات بهینه قابل کشت در حوضه مورد توجه قرار گیرد. در این مرحله نیاز آبی محصولات جهت محاسبه آب مجازی، با استفاده از نرم افزار NETWAT تعیین می‌شود.

(Daneshvar Vousoughi et al., 2012) سد یامچی در مرحله مطالعاتی برای تأمین نیاز کشاورزی و آبیاری در حدود ۱۵۰۰۰ هکتار اراضی منطقه طراحی شده بود ولی در مراحل بعدی به دلیل کمبود آب شرب شهر اردبیل و نیز حفظ آبخوان دشت اردبیل، کاربری این سد به کشاورزی، شرب، صنعت و نیاز زیست محیطی تغییر یافته است. این سد در حال حاضر تأمین کننده بیش از ۲۰ میلیون متر مکعب از آب شرب شهرهای توریستی اردبیل و سرعین (جمیعتی در حدود ۱۶۰۰۰ نفر) می‌باشد. تغییر کاربری و افزایش نیازهای آبی مختلف حوضه، باعث ایجاد مشکلاتی در روند بهره‌برداری از مخزن این سد شده است.

ساختار روش تحقیق در مطالعه حاضر، در شکل ۲ نشان داده شده است. به طور خلاصه، پس از تعیین محصولات قابل کشت در منطقه، محصولات اصلی حوضه امتیازدهی و محصولات بر مبنای معیارهای مورد نظر و با لحاظ محدودیت‌های سیستم انتخاب می‌گردد. سپس سطح بهینه زیر کشت هر یک از محصولات تعیین می‌گردد. با اعمال الگوی ارائه شده در مدل پویای مخزن یامچی، پایداری سیاست پیشنهادی، ارزیابی می‌گردد.

### ۲-۲- انتخاب محصولات

در ابتدا با همکاری سازمان جهاد کشاورزی و آب منطقه‌ای استان اردبیل، مجموعه‌ای از ۲۴ محصول عمده قابل کشت و سازگار با شرایط

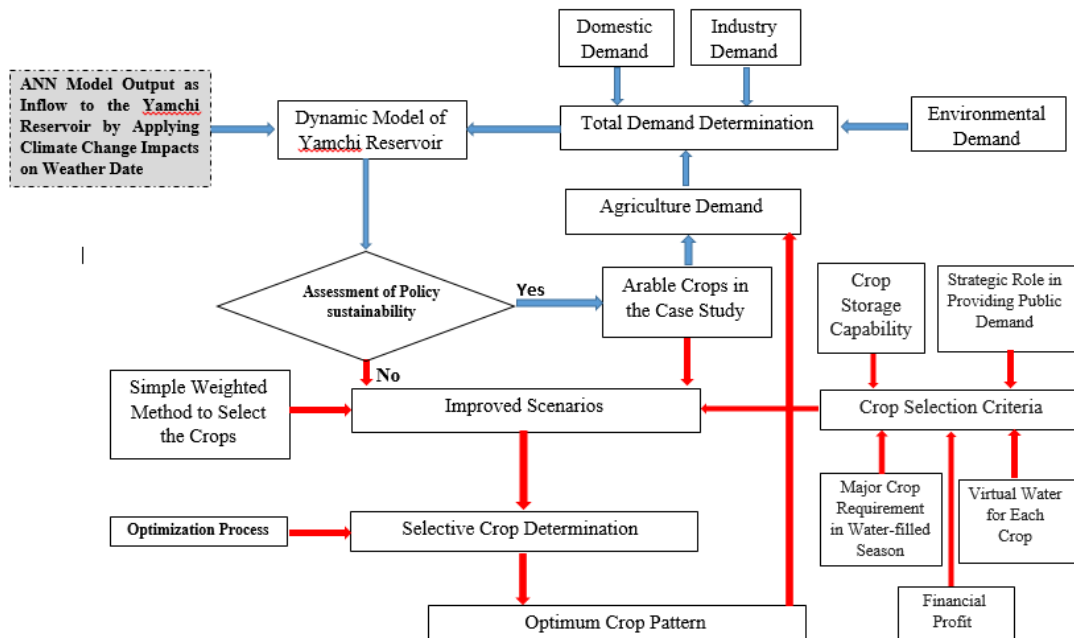


Fig. 2- Flowchart of the Study

شکل ۲- فلوچارت تحقیق

Table 1- Criteria and Value of Each Criterion

جدول ۱- معیارها و میزان امتیاز هر معیار

| Criteria                                    | Range of Value | Weight of Criterion | Definition                                                                      |
|---------------------------------------------|----------------|---------------------|---------------------------------------------------------------------------------|
| Virtual Water for Each Crop                 | 1-9            | 4                   | The higher the virtual water, the less the Value                                |
| Strategic Role in Providing Public Demand   | 1-5            | 5                   | The more the Crops meet the Basic Public needs, the more the Value              |
| Financial Profit                            | 1-10           | 3                   | The Higher the Economic Efficiency Results, the Higher the Value.               |
| Crop Storage Capability                     | 1-5            | 3                   | Products with more Storage Capacity have more Privileges.                       |
| Major Crop Requirement in High-Water Season | 1-3            | 2                   | The Value Determined Due to the Crop Water Requirement and Seasonal Irrigation. |

### ۳-۲-۲- بهینه‌سازی

در این برسی به منظور تعیین سطح بهینه زیر کشت محصولات منتخب، از بهینه‌سازی خطی استفاده شده است. برای بهینه‌سازی الگوی کشت منطقه، تابع سود خالص اقتصادی محاسبه و به عنوانتابع هدف بهینه‌سازی تعریف شده است. محدودیت‌های مسئله بهینه‌سازی شامل حداقل و حداکثر سطح زیرکشت هر یک از محصولات حوضه، محدودیت در میزان منابع آب تخصیص داده شده به بخش کشاورزی و کل سطح زیر کشت تحت آبیاری سد و شبکه می‌باشد. مدل بهینه‌سازی سود حاصل از کشاورزی با رابطه (۴) ارائه شده است.

$$\text{Max } B(x) = \text{Max } \sum_{i=1}^4 (b_i Y_i - C_i) A_i$$

Subject to:

$$A_{i\min} \leq A_i \leq A_{i\max} \quad (4)$$

$$\sum_{i=1}^4 A_i \leq A_{\text{Total}}$$

$$\sum_{i=1}^4 A_i \cdot w_i \leq W_{\text{Total}}$$

$b_i$ ،  $Y_i$ ،  $C_i$ ،  $B(x)$ ،  $A_i$  به ترتیب بیان کننده قیمت فروش عده تک محصول (ریال)، سود نهایی (ریال)، هزینه تولید (ریال)، عملکرد و سطح زیر کشت از کل محصولات کشت شده (هکتار) در سال کشت محصول در استان اردبیل می‌باشد. همچنین  $A_{i\min}$  و  $A_{i\max}$  بیان کننده حداقل سطح قابل کشت (هکتار)، حداقل سطح قابل کشت (هکتار)، نیاز آبی گیاه (مترمکعب بر هکتار) و کل آب قابل تخصیص (مترمکعب) سالانه به بخش کشاورزی می‌باشد. با هدف تأمین حداقل نیاز منطقه و مشکل در فروش محصولات مازاد بر نیاز، برای هر محصول با توجه به اطلاعات موجود در منطقه و نظر کارشناسان، مقدار حداقل و حداکثری در محدودیت‌های مسئله بهینه‌سازی در نظر گرفته شده است. در این

در ادامه متوسط عملکرد و سطح زیر کشت محصولات قابل کشت در دشت اردبیل و منطقه تحت آبیاری شبکه سد یامچی، تهیه شده و مقدار آب مجازی محصولات قابل کشت، با استفاده از روابط زیر محاسبه می‌گردد (Rouhani et al., 2009; Hoekstra et al., 2011; Dehghan Menshadi et al., 2015). لازم به ذکر است در بررسی حاضر از مفهوم آب مجازی برای تولید محصولات کشاورزی در مزرعه بر اساس نیاز آبی محصولات استفاده شده است، بنابراین مراحل تولید، برداشت و انجام سایر فرآیندهای عرضه محصول به بازار، در قالب ردپای آب مطرح می‌گردد.

$$VWC_c = \frac{CWR_{C,j}}{\bar{Y}_{C,j}} \quad (1)$$

$$\bar{Y}_c = \frac{\sum_{j=1}^n Y_{C,j} \times A_{C,j}}{TA_{C,j}} \quad (2)$$

و ز به ترتیب بیان کننده نوع محصول کشت شده و سال کشت محصول می‌باشد.  $VWC_{C,j}$  مقدار آب مجازی محصولات،  $\bar{Y}_{C,j}$  متوسط عملکرد هر محصول ( $\text{ton}/\text{ha}$ )،  $CWR_{C,j}$  نیاز آبی در سطح منطقه برای هر محصول ( $\text{m}^3/\text{ha}$ )،  $Y_{C,j}$  عملکرد هر محصول ( $\text{ton}/\text{ha}$ )،  $A_{C,j}$  سطح زیر کشت محصول هر منطقه ( $\text{ha}$ ) و  $TA_{C,j}$  کل سطح زیر کشت منطقه ( $\text{ha}$ ) می‌باشد.

### ۲-۲-۲- روش جمع وزنی ساده

میانگین امتیاز هر گزینه ( $F_i$ ) در روش جمع وزنی ساده، به صورت معادله زیر بیان می‌شود که در آن هر گزینه  $i$  از دید معیار زارزشی به اندازه  $a_{ij}$  دارد و  $n$  تعداد معیارها است. از طرف دیگر هر معیار  $j$  یک وزن نسبی به اندازه  $u_j$  دارد.

$$F_i = \frac{\sum_{j=1}^n u_j a_{ij}}{\sum_{j=1}^n u_j} \quad (3)$$

می‌باید. عناصری چون تولد، مرگ و میر و مهاجرت موجب فرآیندی پویا در جمعیت می‌شوند که به تغییر در ساختار جمعیت و در نتیجه منجر به افزایش تقاضای آب نیز می‌گردد.

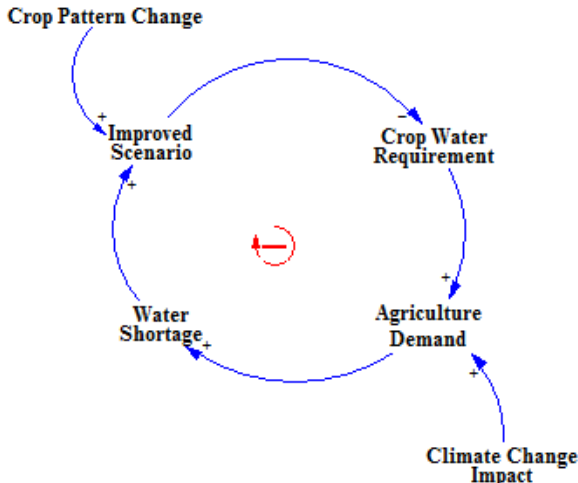


Fig. 3- Causal Loop Diagram of Agriculture Demand

شکل ۳- حلقه علت و معلولی نیاز آب کشاورزی

در این بررسی، نرخ خالص رشد سالانه جمعیت به میزان ۱/۴۴ درصد و سرانه مصرف در حالت پایه سال ۱۳۸۸ به میزان ۱۹۴ لیتر در روز برای هر نفر و همچنین ضریب پیک روزانه ۱/۶ بر اساس اطلاعات اداره آب منطقه‌ای استان اردبیل (Abra Consulting Engineers, 2013) در نظر گرفته شده است. مقدار تقاضای آب شرب با رابطه (۶) تعریف شده است.

$$W_D = P \cdot q \cdot PF \quad (6)$$

به ترتیب بیان کننده ضریب یک مصرفی، سرانه مصرف به ازای هر نفر، جمعیت تحت پوشش و نیاز شرب می‌باشد.

### ۳-۱-۳-۲- تقاضای آب صنعت

تقاضای صنعت، براساس اظهارات مدیران بهره‌برداری اداره آب منطقه‌ای استان اردبیل، از سال ۱۴۰۰ آغاز خواهد شد. مقدار تقاضای بخش صنعت، سالانه یک میلیون مترمکعب، افزایش خواهد یافت.

### ۴-۱-۳-۲- تقاضای آب زیست محیطی

متابق بررسی‌های انجام شده، مطالعه‌ای پیرامون تعیین نیاز زیست محیطی رودخانه‌های حوضه و پایین دست سد مورد مطالعه صورت نگرفته است و تنها اطلاعات در دسترس داده‌های تاریخی میزان آب رهاسازی شده از مخزن سد می‌باشد. بنابراین، در این تحقیق، مقادیر تاریخی به عنوان نیاز زیست محیطی لحاظ گردید.

تحقیق، نرم‌افزار GAMS جهت بهینه‌سازی سطح زیر کشت محصولات منتخب استفاده شده است.

### ۳-۲- مدل سازی بیانی بهره‌برداری از مخزن

در این بخش، توسعه مدل پویایی سیستم سد یامچی با بیان حلقه‌های اصلی و زیر مدل‌های سیستم تشریح می‌گردد. در این بررسی، با هدف تدوین سیاست‌ها و طرح‌های توسعه موجود در حوضه مورد مطالعه، سال ۱۴۰۰ به عنوان افق طرح مدل انتخاب شده است. مدل حوضه یامچی شامل سه زیر مدل اصلی تقاضای آب، کمبود آب و مخزن سد می‌باشد.

### ۱-۳-۲- زیر مدل تقاضای آب

زیر مدل تقاضای آب برای حوضه سد یامچی، شامل چهار بخش نیاز کشاورزی، نیاز شرب، نیاز صنعت و نیاز زیست محیطی می‌باشد. در ادامه، هر یک از زیرمدل‌ها تشریح می‌گردد.

### ۱-۳-۲-۱- تقاضای آب کشاورزی

تقاضای آب کشاورزی، اصلی‌ترین نیاز آبی در حوضه مورد مطالعه می‌باشد. در این زیر مدل، سطح زیر کشت، نیاز آبی محصولات، راندمان آبیاری و تأثیر تغییر اقلیم بر نیاز آبی به عنوان عوامل مؤثر بر تقاضای نیاز کشاورزی، لحاظ شده است. الگوی کشت در دو حالت سطح زیر کشت فعلی و الگوی بهینه کشت بدست آمده از مدل بهینه‌سازی، در نظر گرفته شده است. با افزایش میزان تقاضای کشاورزی، میزان کمبود آب افزایش می‌باید و سیاست‌های مدیریتی چهت کاهش تقاضای کشاورزی فعال می‌شود. با توجه به کاهش کمبود آب با تغییر الگوی کشت، حلقه منفی تشکیل می‌گردد.

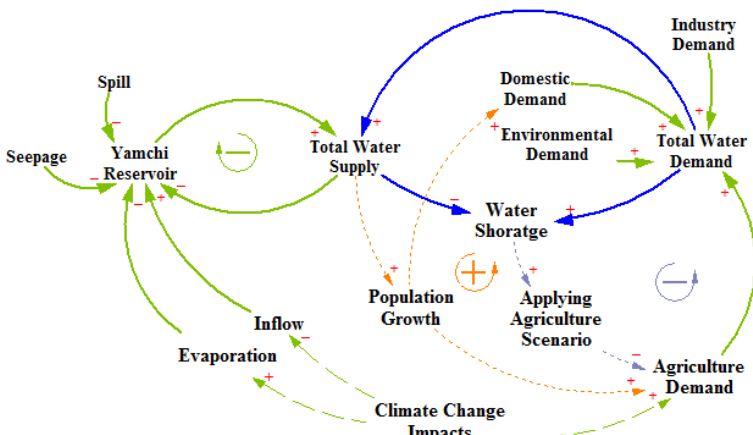
نیاز کشاورزی با استفاده از رابطه ۵ محاسبه می‌گردد:

$$W_A = \sum_{i=1}^n \frac{w_i \cdot A_i \cdot CC_i}{I_i} \quad (5)$$

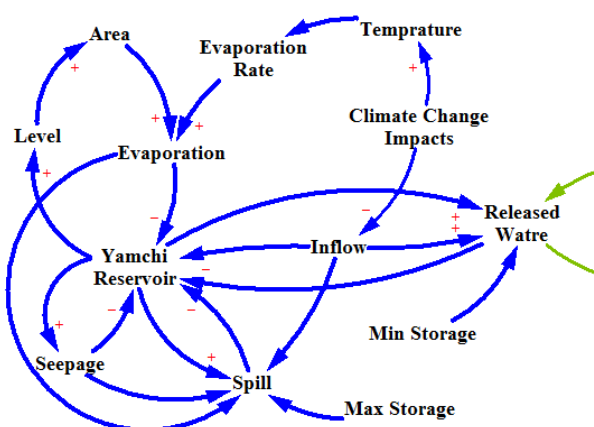
$W_A$ : به ترتیب بیان کننده تأثیر تغییر اقلیم بر نیاز آبی محصولات، راندمان آبیاری، سطح زیر کشت محصولات، نیاز آبی محصولات و مقدار کل نیاز کشاورزی می‌باشد. بر اساس مطالعه صورت گرفته در منطقه، نیاز آبی محصولات کشاورزی در اثر تأثیرات تغییر اقلیم، درصد افزایش خواهد یافت (Zarghami et al., 2015).

### ۱-۳-۲-۲- تقاضای آب شرب

نیاز شرب، متأثر از میزان جمعیت، سرانه مصرف به ازای هر نفر و ضریب پیک روزانه و ساعتی می‌باشد. جمعیت متغیر اصلی مرتبط با نیاز آب شرب می‌باشد و با افزایش جمعیت، مقدار نیازهای آبی افزایش



**Fig. 4- Causal Loop diagram of the System**  
شکل ۴- نمودار علت و معلولی حاکم بر کل مدل



**Fig. 5- Causal Loop Diagram of Yamchi Reservoir Operation**

شکل ۵- حلقه علت و معلولی عملکرد مخزن سد یامچی

#### ۴-۲- صحبت‌سنگی مدل

پس از تعیین تمامی متغیرها و استخراج روابط ریاضی حاکم بر پارامترهای هر زیر مدل، نمودار ذخیره جریان (شکل ۸) با استفاده از نرم افزار Vensim که یک محیط مدل‌سازی شئ‌گرا می‌باشد، ترسیم گردید.

برای ارزیابی عملکرد مدل، نوسانات سطح آب مخزن در مدل سد یامچی شبیه‌سازی شده و نتایج مدل با مقادیر واقعی مقایسه گردیده است. مدل سد یامچی با داده‌های تاریخی ۱۳۹۹-۱۳۸۲ صحت‌سنگی شده است. شکل ۷، نوسانات سطح آب، در سری زمانی تاریخی و شبیه‌سازی شده را نشان می‌دهد. به منظور ارزیابی عملکرد مدل شبیه‌سازی سیستم سد یامچی، از ضریب تعیین  $R^2$  و معیار نشانه تکلیف استفاده شده است (Ashofteh et al. 2014).

#### ۲-۳-۲- زیر مدل مخزن سد

حجم مخزن سد یامچی تحت تأثیر پارامترهای جریان ورودی، میزان تبخیر، مقدار سرریز، میزان نشت و میزان آب تنظیمی از خروجی سد می‌باشد. جریان ورودی به مخزن سد نیز از تغییر اقلیم تأثیر می‌پذیرد. جریان تنظیمی با توجه به کل نیازهای آبی، مقدار ذخیره مخزن، حداقل ذخیره مخزن و مقدار جریان ورودی به مخزن سد بر مدل تعريف می‌گردد. ورودی مخزن با استفاده از مدل شبکه عصبی با اعمال تأثیرات تغییر اقلیم و همچنین برآورد میزان تبخیر با استفاده از رابطه USBR، در مدل پویای سد یامچی اعمال گردید (Zarghami et al. 2016). شکل ۵ نشان دهنده حلقه علت و معلولی مربوط به مخزن سد یامچی می‌باشد.

#### ۳-۳-۲- زیر مدل کمبود آب

در این مدل، رابطه بین تأمین آب و تقاضا با متغیر کمبود آب برقرار می‌گردد و اختلاف بین تقاضا و تأمین آب با متغیر کمبود تعريف شده است. عوامل مؤثر بر تغییرات بیلان آب، میزان عرضه و مصرف آب می‌باشد. حلقه علت و معلولی مدل کمبود آب در شکل ۶ نشان داده شده است.

#### ۴-۳-۲- زیر مدل کمبود آب

در این مدل، رابطه بین تأمین آب و تقاضا با متغیر کمبود آب برقرار می‌گردد و اختلاف بین تقاضا و تأمین آب با متغیر کمبود تعريف شده است. عوامل مؤثر بر تغییرات بیلان آب، میزان عرضه و مصرف آب می‌باشد. حلقه علت و معلولی مدل کمبود آب در شکل ۶ نشان داده شده است.

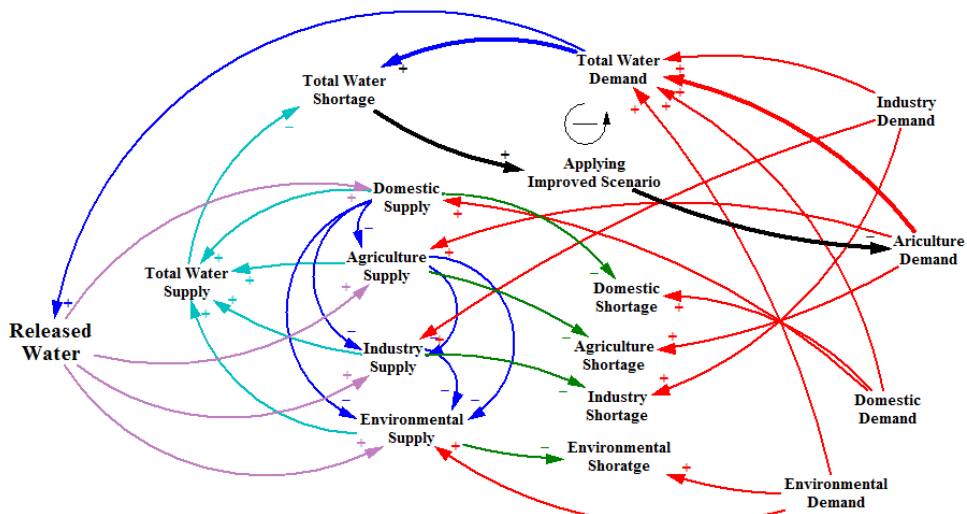


Fig. 6- Causal Loop Diagram of Yamchi Reservoir Shortage

شکل ۶- حلقه علت و معلولی کمبود آب سد مخزنی یامچی

علاوه بر اطلاعات سودمندی که برای تصمیم‌گیران و تصمیم‌سازان دارد، امکان پیش‌بینی سیستم در شرایط شکست را نیز فراهم می‌آورد (Shafie Jood et al., 2013). این شاخص‌ها همچنین در عرصه مدیریت منابع آب به کمک مدل پویایی سیستم‌ها استفاده شده‌اند (Felfelani et al., 2013).

ضریب تعیین، بیانگر میزان احتمال همبستگی میان دو دسته داده مدل شده و داده‌های مشاهداتی می‌باشد (رابطه ۷). این شاخص همواره بین صفر و یک متغیر می‌باشد. معیار نش-ساتکلیف که دامنه تغییرات آن از منفی بی‌نهایت تا یک را شامل می‌شود، از رابطه ۸ بدست می‌آید. هر چه این معیار به عدد یک نزدیک‌تر باشد صحبت‌سنگی مدل دقیق‌تر خواهد بود. مقادیر بزرگ‌تر از ۰/۵، حاکی از عملکرد قابل قبول مدل می‌باشد.

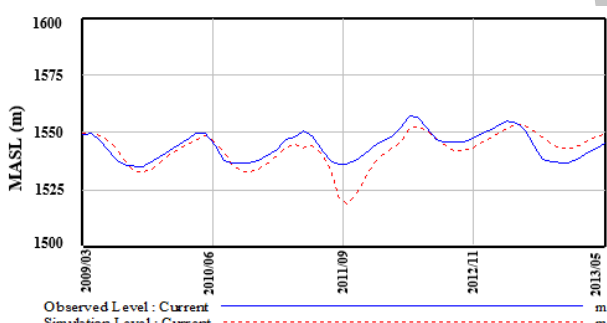


Fig. 7- The Validation of Water Level in Yamchi Reservoir (2009-2013)

شکل ۷- نمودار صحبت‌سنگی سطح آب مخزن یامچی  
(۱۳۸۸-۱۳۹۲)

به طور خلاصه اطمینان‌پذیری نشان دهنده تعداد شکست یا موفقیت سیستم در یک بازه زمانی مشخص می‌باشد و به صورت احتمال مطلوبیت یا شکست بیان می‌شود، برگشت‌پذیری نشان دهنده احتمال برگشت یک سیستم به حالت مطلوب بعد از یک شکست می‌باشد و آسیب‌پذیری شدت شکست‌های مشاهده شده را نشان می‌دهد. همچنین (Kjeldsen and Rosbjerg 2001) از ترکیب این معیارها برای ارزیابی پایداری طرح‌های منابع آب استفاده کردند. در این بررسی

$$R^2 = \frac{[\sum(y_{m,i} - \bar{y}_{m,i})(y_{s,i} - \bar{y}_{s,i})]^2}{\sum(y_{m,i} - \bar{y}_{m,i})^2 \sum(y_{s,i} - \bar{y}_{s,i})^2} \quad (7)$$

$$NSE = 1 - \frac{\sum(y_{m,i} - y_{s,i})^2}{\sum(y_{s,i} - \bar{y}_{s,i})^2} \quad (8)$$

در روابط بالا  $y_{m,i}$  مقدار داده محاسباتی و  $y_{s,i}$  نمایانگر داده مشاهداتی می‌باشد.  $\bar{y}_{m,i}$  و  $\bar{y}_{s,i}$  مقدار میانگین داده‌های محاسباتی و مشاهداتی می‌باشد.

مقادیر معیار ارزیابی برای متغیر سطح آب مخزن برای NSE و  $R^2$  به ترتیب  $0/72$  و  $0/73$  محاسبه گردید که نسبتاً قابل قبول می‌باشد همچنین با توجه به انطباق مناسب تراز مخزن مشاهداتی و شبیه‌سازی شده (شکل ۷)، نتایج قابل قبولی را جهت صحبت‌سنگی مدل نشان می‌دهد.

## ۲-۵- معیارهای ارزیابی پایداری سیستم تأمین آب تحت اثر الگوی کشت اعمالی

Hashimoto et al. (1982) از دیدگاه سه معیار اطمینان‌پذیری، برگشت‌پذیری و آسیب‌پذیری عملکرد سیاست‌های بهره‌برداری را بررسی کردند. بهره‌گیری از این شاخص‌ها در کنار نتایج مدل‌سازی تحقیقات منابع آب ایران، سال سیزدهم، شماره ۳، پاییز ۱۳۹۶

دارد. این متغیرها به صورت مستقیم بر جریان ورودی به مخزن سد تأثیرگذار می‌باشد. بر این اساس، تغییرات نتایج مدل نسبت به تغییر در جریان ورودی مورد تحلیل واقع شده است. براساس داده‌های آماری موجود برای متغیر جریان ورودی، توزیع نرمال با میانگین ۴/۵ و انحراف از میانگین ۲/۷ در نظر گرفته شده است.

### ۳- نتایج و بحث

پس از تعیین محصولات قابل کشت در حوضه سد یامچی، مقدار آب مجازی هر یک بر اساس روابط ارائه شده محاسبه گردید. در ادامه هزینه آب برای کشت هر محصول تعیین شد. این مقدار بیانگر درآمد حاصل از کشت محصولات می‌باشد که می‌تواند جهت قیمت‌گذاری، فروش آب و تشكیل بازار آب محلی مد نظر قرار گیرد.

با اعمال محصولات فوق در مدل پویایی مخزن یامچی، با توجه به کاهش ورودی به مخزن تحت تأثیر تغییر اقلیم و افزایش نیاز در بخش‌های شرب، کشاورزی و صنعت، افزایش ۸۷ درصدی میانگین کمبودهای ماهانه از سال ۱۳۹۳ تا ۱۴۰۰ نسبت به سال‌های ۱۳۸۸ تا ۱۳۹۳ را شاهد خواهیم بود. کمبود آب در بخش کشاورزی در طول بازه زمانی ۱۳۸۸ تا ۱۴۰۰ به میزان ۸۰ درصد کمبود کل را تشکیل می‌دهد. پس از امتیازدهی بر مبنای جدول ۱ و رتبه‌بندی براساس روش جمع وزنی ساده چهار محصول گندم، سیب زمینی، یونجه و جو به عنوان اولویت کشت در زمین‌های تحت آبیاری شبکه سد یامچی پیشنهاد شدند. در شرایط حاضر، بیشتر از ۸۵ درصد سطح زیر کشت اراضی منطقه به این چهار محصول اصلی اختصاص یافته است. نتایج مدل پهنه‌سازی و سطح بهینه زیر کشت هر یک از محصولات استراتژیک و اساسی در جدول ۴ نشان داده شده است.

نیز، این معیارها (جدول ۲) جهت محاسبه پایداری سیاست پیشنهادی برای سیستم، به کار برده شده است.

### ۴- ارزیابی و تحلیل عدم قطعیت

کاربرد مدل‌های شبیه‌سازی مستلزم داشتن اطلاعاتی درباره عدم قطعیت آن‌ها با توجه به عدم قطعیت پارامترهای ورودی می‌باشد. با ارزیابی عدم قطعیت‌های مدل، اطمینان و اعتماد بیشتری در خصوص تصمیم‌گیری‌های ناشی از کاربرد این معادلات حاصل می‌شود (Hope et al., 2004). در این مطالعه، با احتساب عدم قطعیت در پارامترهای ورودی مدل با کمک مدل شبیه‌ساز مونت کارلو، قابلیت اطمینان مدل در بازه‌های اطمینان مختلف تعیین شده است. روش مونت کارلو از مهم‌ترین روش‌های تحلیل عدم قطعیت است که تحلیل عدم قطعیت در این روش، بر اساس تولید اعداد تصادفی است. هر متغیر با استفاده از اعداد تصادفی تولید شده و تابع توزیع احتمال مربوطه، شبیه‌سازی و سپس متناظر با آن‌ها خروجی مدل محاسبه می‌شود. عدم قطعیت پارامترهای خروجی از طریق محاسبه شاخص‌های آماری نظیر میانگین، انحراف معیار، دامنه، ضریب تغییرات و یا تعیین تابع توزیع آن نمایش داده می‌شود (Skebede et al., 2005).

در مدل سازی پویایی سیستم سد یامچی سعی شده است تا عدم قطعیت‌های موجود در پارامترها یا معادلات با انجام تحلیل حساسیت مورد بررسی دقیق‌تری قرار بگیرد و در کمتری از عملکرد مدل تحت عدم قطعیت‌های محتمل به دست آید. با تغییر پارامترهایی که دارای عدم قطعیت بیشتری هستند، عملکرد مخزن تحت تغییرات این پارامترها مورد ارزیابی قرار خواهد گرفت. در مدل سازی پویایی سد یامچی، بیشترین عدم قطعیت در پیش‌بینی متغیرهای اقلیمی وجود

Table 2- Sustainability Criteria to Evaluate the Dynamic Model of Yamchi Reservoir

جدول ۲- معیارهای پایداری جهت ارزیابی مدل پویایی سد یامچی

| Performance Criteria | Equation                                                                                                                                               |
|----------------------|--------------------------------------------------------------------------------------------------------------------------------------------------------|
| Reliability          | $Rel = 1 - \frac{\text{number of satisfactory values}}{\text{number of total time series}}$                                                            |
| Resiliency           | $Res = \frac{\text{number of times a satisfactory value follows an unsatisfactory value}}{\text{number of unsatisfactory values}}$                     |
| Vulnerability        | $Vul = \frac{\text{sum of the positive values of difference between satisfactory values and threshold value}}{\text{number of unsatisfactory values}}$ |
| Sustainability       | $\text{Sustainability} = Rel \times Res \times \left[ 1 - \frac{\text{Vulnerability}}{\sum \text{Vulnerability}} \right]$                              |

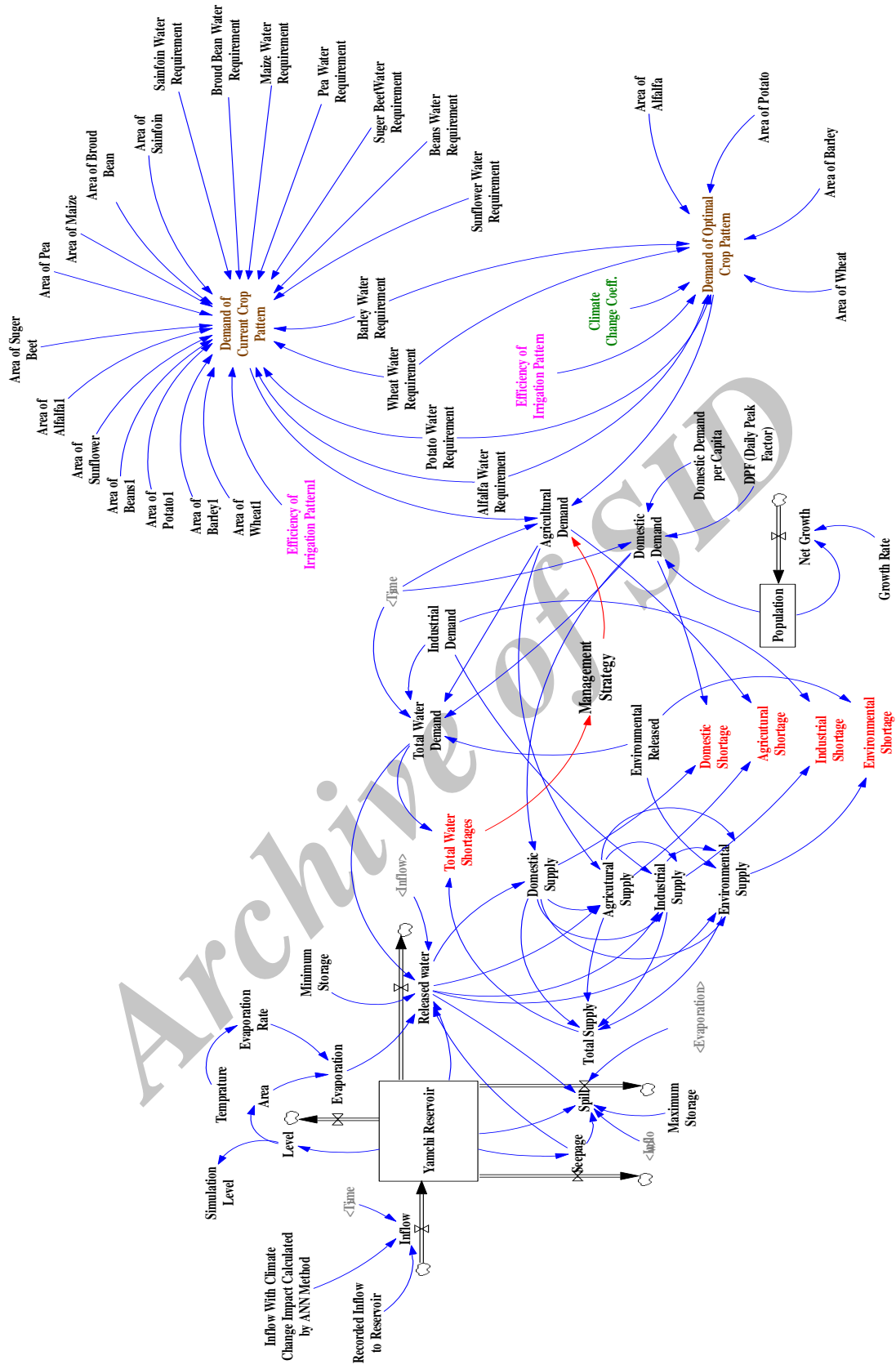


Fig. 8- Stock- Flow Diagram of Yamchi Reservoir

شکل ۸- مدل جریان- ذخیره سد مخزنی یامچی

تحقیقات منابع آب ایران، سال سیزدهم، شماره ۳، پاییز ۱۳۹۶

Volume 13, No. 3, Fall 2017 (IR-WRR)

می شود. نتایج اعمال الگوی کشت بهینه در بخش بعدی تشریح می گردد.

### ۱-۳- نتایج اعمال الگوی بهینه کشت

در این مرحله، الگوی بهینه کشت، در مدل پویای سد یامچی اعمال گردید. نتیجه اعمال الگوی بهینه کشت در کاهش هر یک از کمبودها در بازه زمانی ۱۳۹۵ الی ۱۴۱۰ در شکل ۹ ارائه شده است. با اعمال الگوی بهینه کشت و تخصیص آب به محصولاتی با نیاز آبی کمتر و سودآوری بیشتر میزان مصرف آب کاهش یافت و با کاهش در تقاضا، از میزان کمبودها نیز کاسته شد. شکل ۱۰ کاهش میزان و شدت کمبود کلی و تعویق زمان وقوع آن را نشان می دهد.

به طوری که با اعمال الگوی بهینه کشت، کمبود کلی در حدود ۴۳ درصد کاهش خواهد یافت. جدول ۵ بیانگر میزان کاهش کمبود هر بخش با اعمال الگوی بهینه کشت نسبت به ادامه روند بهرهبرداری کنونی می باشد.

محاسبه سود در هر دو حالت شرایط فعلی و شرایط بهینه براساس قیمت فروش و هزینه های تولید سال ۹۱-۹۲ در نظر گرفته شده است. محدودیت منابع آب در صورت اصلاح الگوی کشت سبب کاهش سطح زیر کشت شده است. با کاهش ۵ درصد در سطح زیر کشت از طریق ارائه الگوی بهینه کشت و شاهد افزایش سود به میزان ۱۴۷ میلیون ریال با تخصیص آب کمتر خواهیم بود. در واقع الگوی پیشنهادی، با اصلاح الگوی کشت و کاهش سطح زیر کشت، سبب کاهش مصرف آب و کاهش کمبودها شده است. مطمئناً بررسی اصلاح و تغییر الگوی کشت در یک منطقه نیازمند مطالعات جامع و بررسی های دقیق تر با در نظر گرفتن مسائل مختلف اجرایی، اجتماعی، اقتصادی و زیست محیطی می باشد.

سطح زیر کشت بهینه با در نظر گرفتن چهار محصول انتخاب شده، از سال ۱۳۹۲ تا افق طرح ۱۴۱۰، در مدل پویایی سیستم سد یامچی اعمال گردید. الگوی کشت بهینه، سبب کاهش کمبود در بخش کشاورزی گردید و به دلیل ماهیت دینامیکی سیستم بهرهبرداری از مخزن، اعمال این سیاست، موجب کاهش کمبود در سایر بخش ها نیز

**Table 3- Virtual Water for the Selected Crops**  
**جدول ۳- محصولات منتخب و مقدار آب مجازی**

| Crops       | Virtual Water (m <sup>3</sup> /kg) | Mean Water Requirement (m <sup>3</sup> /ha) | Performance (kg/ha) | Sales Price (Rial(IR)/kg) | Water Cost (Rial(IR)/m <sup>3</sup> ) | Value of Each Crop |
|-------------|------------------------------------|---------------------------------------------|---------------------|---------------------------|---------------------------------------|--------------------|
| Wheat       | 0.62                               | 2560                                        | 4145                | 14500                     | 23477                                 | 0.74               |
| Barley      | 0.52                               | 1860                                        | 3600                | 9200                      | 17806                                 | 0.64               |
| Maize       | 1.02                               | 6050                                        | 5907                | 9600                      | 9374                                  | 0.44               |
| Forage Corn | 0.09                               | 4040                                        | 43746               | 1100                      | 11911                                 | 0.62               |
| Peas        | 3.15                               | 3480                                        | 1104                | 22200                     | 7046                                  | 0.48               |
| Bean        | 2.79                               | 2900                                        | 1041                | 21000                     | 7538                                  | 0.54               |
| Potato      | 0.18                               | 5360                                        | 29120               | 3600                      | 19558                                 | 0.63               |
| Onion       | 0.18                               | 5950                                        | 32992               | 2400                      | 13308                                 | 0.46               |
| Tomato      | 0.14                               | 4770                                        | 34911               | 6000                      | 43913                                 | 0.51               |
| Watermelon  | 0.09                               | 3200                                        | 36208               | 3500                      | 39603                                 | 0.53               |
| Cucumber    | 0.23                               | 3500                                        | 15125               | 5000                      | 21607                                 | 0.39               |
| Beet        | 0.18                               | 7970                                        | 43327               | 2700                      | 14678                                 | 0.53               |
| Apple       | 0.62                               | 4960                                        | 7953                | 6600                      | 10582                                 | 0.39               |
| Grape       | 0.99                               | 4840                                        | 4907                | 10000                     | 10139                                 | 0.28               |
| Apricot     | 0.72                               | 4130                                        | 5758                | 10000                     | 13942                                 | 0.25               |
| Pear        | 0.83                               | 4960                                        | 5956                | 4500                      | 5404                                  | 0.22               |
| Sour cherry | 1.54                               | 4570                                        | 2975                | 8500                      | 5534                                  | 0.23               |
| Cherry      | 1.27                               | 4570                                        | 3612                | 9000                      | 7114                                  | 0.25               |
| Walnut      | 6.64                               | 5760                                        | 868                 | 220000                    | 33140                                 | 0.44               |
| Peach       | 0.76                               | 6890                                        | 9061                | 8500                      | 11178                                 | 0.25               |
| Cotton      | 2.01                               | 5540                                        | 2754                | 25500                     | 12675                                 | 0.52               |
| Sunflower   | 3.37                               | 4290                                        | 1272                | 21500                     | 6377                                  | 0.44               |
| Melon       | 0.17                               | 3710                                        | 21791               | 3500                      | 20558                                 | 0.38               |
| Soya        | 3.61                               | 6580                                        | 1824                | 19700                     | 5462                                  | 0.46               |
| Alfalfa     | 0.89                               | 5540                                        | 6197                | 8000                      | 8949                                  | 0.63               |

**Table 4- Optimum Crop Pattern and the Profit of Each Crop ( $10^6$  Rials/ha)**

**جدول ۴- سود و سطح زیر کشت بهینه محصولات شبکه یامچی (میلیون ریال / هکتار)**

| Crops   | Mean area of tillage(ha) | Optimum Crop Pattern(ha) | Profit of Mean area of tillage( $10^6$ Rials) | Profit of Optimum Crop Pattern( $10^6$ Rials) |
|---------|--------------------------|--------------------------|-----------------------------------------------|-----------------------------------------------|
| Wheat   | 1750                     | 2000                     | 41116.65                                      | 1169.5                                        |
| Potato  | 2564                     | 2534                     | 48543.42                                      | 55477.94                                      |
| Alfalfa | 390                      | 200                      | 595696.72                                     | 58899.41                                      |
| Barley  | 352                      | 100                      | 645141                                        | 3308.54                                       |
| Sum     | 5056                     | 4834                     | 118708.20                                     | 118855.39                                     |

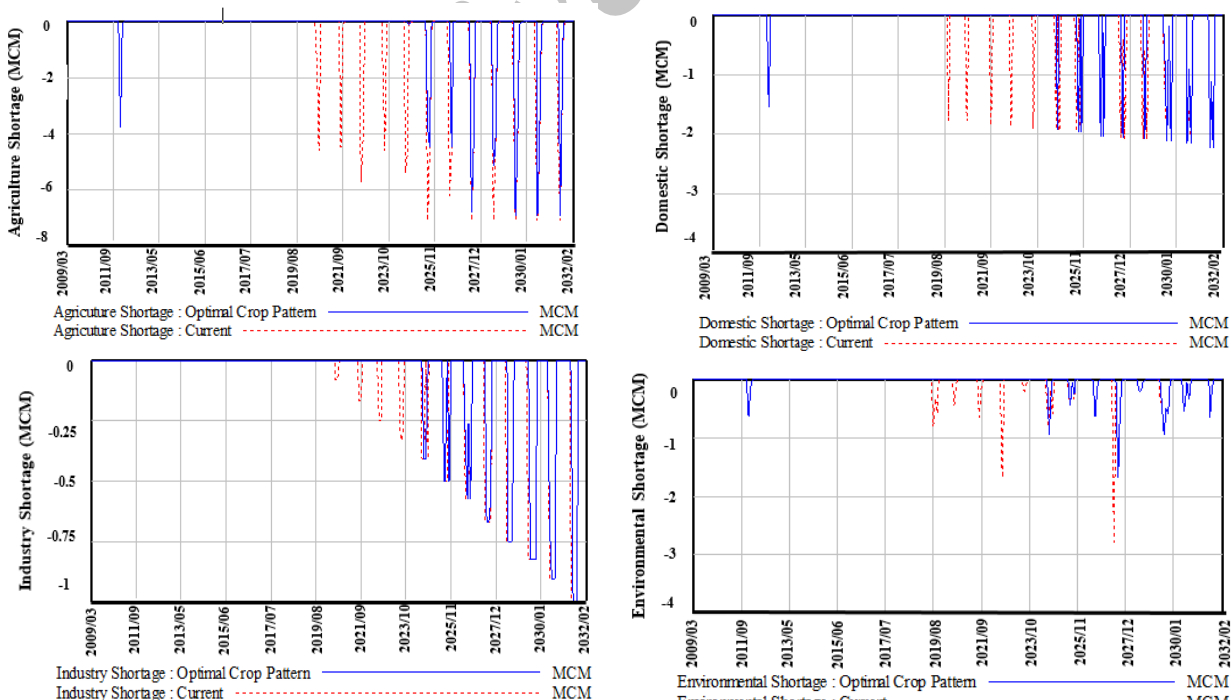
رونده بهره برداری کنونی، مقایسه شده است. حجم مطلوب مخزن برابر ۱۰ میلیون مترمکعب در نظر گرفته شده است. با ادامه شرایط فعلی بهره برداری، حجم ذخیره مخزن روند نزولی را تجربه خواهد کرد و در مرداد ماه سال ۱۳۹۸، قادر به تأمین حداقل نیازها هم نخواهد بود.

اعمال الگوی بهینه کشت با ورود مفهوم آب مجازی، با به تعویق انداختن کمبودها به مدت تقریباً پنج سال نسبت به وضعیت فعلی (خرداد ۱۳۹۸ الی اردیبهشت ۱۴۰۳) و افزایش شاخص پایداری سیستم تأمین آبرسانی از جمله سیاست‌های مفید در بهبود وضعیت سیستم در تأمین تقاضا، ارزیابی می‌شود. این رویکرد با مذکورات بین مدیران بهره برداری از مخزن و ذینفعان به خصوص کشاورزان با دادن تسهیلات و امکانات لازم، قابل اجرا می‌باشد.

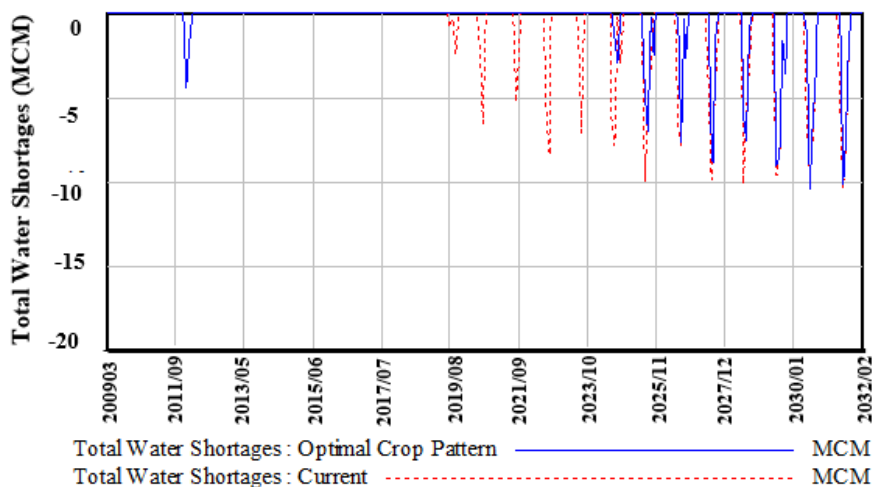
بر طبق نتایج بدست آمده، در شرایط اصلاح الگوی کشت، کمبود کشاورزی و زیست محیطی به ترتیب با ۴۹ و ۴۷ درصد، بیشترین تغییر را در مقایسه با شرایط فعلی دارا می‌باشند و با اعمال الگوی بهینه کشت، شاهد کاهش قابل توجه کمبود در بخش کشاورزی خواهیم بود. همچنین لازم به ذکر است که اعمال الگوی بهینه کشت در بخش کشاورزی و اثرباری چشمگیر آن در کاهش سایر کمبودها حاکی از ماهیت دینامیکی مدل ارائه شده می‌باشد.

### ۲-۳- برسی پایداری الگوی بهینه کشت

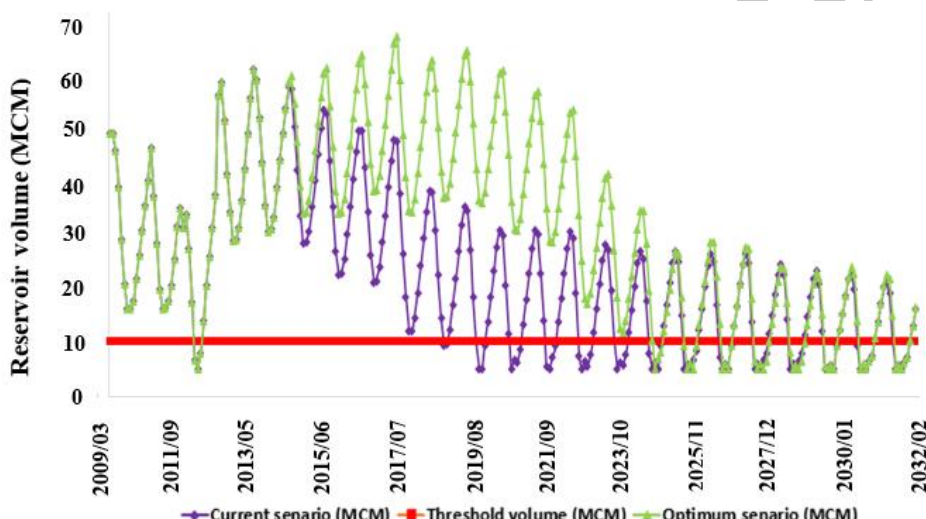
در تحقیق حاضر، برای بررسی پایداری سیاست تغییر الگوی کشت، حجم ذخیره مخزن در شرایط الگوی بهینه کشت و در شرایط ادامه



**Fig. 9- Shortage in Different Part of consumption (MCM) Applying Optimum Crop Pattern (2009-2032)**  
شکل ۹- کمبود آب در بخش‌های مختلف مصارف در صورت اعمال الگوی بهینه کشت در سیستم سد یامچی (۱۴۱۰-۱۳۸۸)



**Fig. 10- Total Shortage (MCM) Applying Optimum Crop Pattern (2009-2032)**  
شکل ۱۰- کمبود کلی آب (مهم) در صورت اعمال الگوی بهینه کشت (۱۴۱۰-۱۳۸۸)



**Fig. 11- Volume of Yamchi Reservoir (MCM) Applying the Optimum Cropping Pattern**  
شکل ۱۱- حجم ذخیره مخزن سد یامچی (مهم) در صورت اعمال الگوی بهینه کشت

مقادیر مربوط به متغیرهای کمبود آب و ذخیره مخزن در بازه‌های مشخص شده در نمودار قرار گرفته‌اند.

**Table 5- Reduction in Shortages by Applying the Optimum Crop Pattern**

**جدول ۵- میزان کاهش کمبود با اعمال الگوی بهینه کشت**

| Shortages              | Reduction in Shortages (in Percent) |
|------------------------|-------------------------------------|
| Agriculture shortage   | 48.96                               |
| Domestic Shortage      | 35.72                               |
| Industry Shortage      | 24.6                                |
| Environmental Shortage | 47                                  |
| Total Shortage         | 43.45                               |

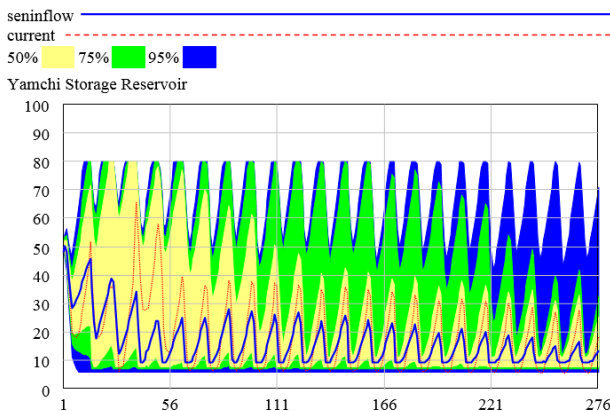
شاخص پایداری در شرایط پایه نسبت به الگوی بهینه کشت اعمال شده در سطح پایین‌تری قرار دارد که این حاکی از بھبود وضعیت پایداری سیستم می‌باشد. لازم به ذکر است منظور از پایداری در این بخش، توانایی مخزن در تأمین یک مقدار مطلوب فرض شده برای حجم ذخیره می‌باشد.

### ۳- نتایج تحلیل عدم قطعیت

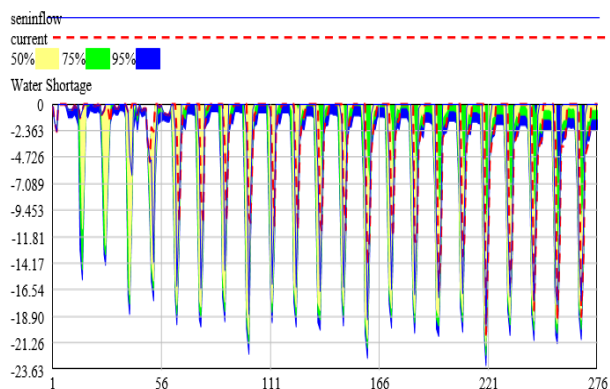
نتایج بدست آمده برای بازه‌های اطمینان ۵۰، ۷۵ و ۹۵ درصد، متغیرهای ذخیره آب مخزن سد یامچی و کمبود آب در مقابل تغییر پارامتر جریان ورودی در شکل‌های ۱۲ و ۱۳ نشان داده شده است. این نمودارها بیان کننده این مفهوم می‌باشند که با تغییر پارامتر عنوان شده، با احتمال‌های مختلفی که به عنوان بازه اطمینان بیان شده است

کاهش تقاضای آب در تامین بخش کشاورزی را شاهد بودیم، به طور کلی در نظر گرفتن مفهوم آب مجازی به عنوان یک سیاست نوین مدیریتی در مصارف مختلف آبی و ورود ماهیت دینامیکی الگو و ترکیب کشت برای کشاورزی در سطح حوضه و تجارت آب مجازی در مطالعات بین حوضه‌ای پیشنهاد می‌گردد.

این نتایج بر اساس ۲۰۰ بار تکرار محاسبه شده‌اند. با کاهش بازه اطمینان، دقت در نتایج به دست آمده کاهش می‌باید و یافته‌ای که عدد مربوط به بازه اطمینان آن بزرگتر باشد به واقعیت نزدیک است و می‌توان بر اساس آن تصمیم‌گیری نمود. مطابق نتایج به دست آمده، با افزایش بازه اطمینان، بازه به دست آمده برای متغیر مورد بررسی دارای محدوده بزرگتری خواهد بود.



**Fig. 12- Yamchi Reservoir Volume Variations Compared to the Inflow Variations (2009-2032)**  
شکل ۱۲- تغییرات ذخیره مخزن سد یامچی نسبت به تغییرات جریان ورودی (۱۳۸۸-۱۴۱۰)



**Fig. 13- Water Shortage Variations Compared to the Inflow Variations (2009-2032)**  
شکل ۱۳- تغییرات کمبود آب نسبت به تغییرات جریان ورودی (۱۳۸۸-۱۴۱۰)

با توجه به نتایج تحلیل عدم قطعیت، متغیر ذخیره مخزن نسبت به جریان ورودی حساس می‌باشد و عدم قطعیت در جریان ورودی بر سطح و ذخیره مخزن تأثیرگذار است. دامنه تغییرات متغیر ذخیره مخزن نسبت به حالت قطعی در حدود ۶۰ درصد نوسان داشته است که در سطح اعتمادپذیری ۷۵ درصد، تغییرات از این مقدار نیز بیشتر شده است. بیشترین تغییرات متغیر کمبود آب نسبت به تغییرات جریان ورودی، در سطح اعتمادپذیری ۹۵ درصد، در حدود ۵۰ درصد می‌باشد ولی در اکثر ماه‌ها تغییرات کمتری دارد.

#### ۴- نتیجه‌گیری

در این تحقیق، یک مدل شبیه‌سازی-بهینه‌سازی برای بهره‌برداری از سد یامچی با رویکرد پویایی سیستم‌ها ارائه گردید. در مدل بهینه‌سازی، الگوی کشت بهینه یا لحاظ معیارهای مختلف از جمله مقدار آب مجازی محصولات محاسبه گردید. براساس نتایج به دست آمده، با فرض ثابت ماندن روند تغییرات نیاز زیست محیطی، مقادیر تقاضا برای نیازهای مختلف کشاورزی، شرب و صنعت در سال‌های آینده افزایش می‌یابد.

میزان کل تقاضا در سال ۱۴۱۰ به ۷۸/۶۷ میلیون متر مکعب می‌رسد که تأمین نیازها با وجود کاهش منابع سیستم تأمین کننده، غیرممکن خواهد شد. از سال ۱۴۰۰، با تخصیص آب به بخش صنعت، افزایش کمبودها تشید می‌یابد و سیستم با شرایط بحرانی شدیدتری روبرو خواهد شد. برای مقابله با شرایط بحرانی و بازنگری در مصارف سد، الگوی بهینه کشت برای چهار محصول عمده و استراتژیک حوضه پیشنهاد گردید که تأثیرگذاری قابل توجهی در حدود ۴۹ درصد در

**Table 6- Sustainability Criteria to Evaluate the Management Policies in the Yamchi Reservoir Model**

جدول ۶- معیارهای پایداری در ارزیابی اعمال سیاست مدیریتی در مدل سد یامچی

| Scenarios            | Reliability | Resiliency | Vulnerability | Sustainability |
|----------------------|-------------|------------|---------------|----------------|
| Status Quo           | 0.7681      | 0.2031     | 3.7528        | 0.1407         |
| Optimum crop Pattern | 0.8586      | 0.2051     | 3.9535        | 0.1579         |

## تشکر و قدردانی

بدین وسیله از حمایت شرکت سهامی آب منطقه‌ای اردبیل از این پژوهش تشکر می‌شود. به خصوص از خدمات آقایان بابک خیاط رسمی، ابراهیم مکلف، عارف انوار و آیدین اصلانزاده نیز تقدیر به عمل می‌آید.

## -۵- مراجع

- Dez reservoir, Iran. Lake and Reservoir Management 29:126-149
- Ghashghaie M, Marofi S, Marofi H (2014) Using system dynamics method to determine the effect of water demand priorities on downstream flow. Water Resource Management 28:5055-5072
- Hashimoto T, Stedinger JR, Loucks DP (1982) Reliability, resiliency, and vulnerability criteria for water resource system performance evaluation. Water Resources Research 18(1):14-20
- Hoekstra AY, Chapagain AK, Aldaya MM, Mekonnen MM (2011) The water footprint assessment manual. Setting the global standard, London, UK
- Hope AS, Stein AK and McMichael CE (2004) Uncertainty in monthly river discharge predictions in a semi-arid shrubland catchment, Hydrology: Science and Practice for the 21st Century, 1:284-290
- Kjeldsen TR, Rosbjerg D (2001) A framework for assessing the sustainability of a water resources system. IAHS Publication 107-114
- Kotir JH, Smith C, Brown G, Marshall N, Johnstone R (2016) A system dynamics simulation model for sustainable water resources management and agriculture development in the Volta river basin, Ghana. Science of the Total Environment 573:444-457
- Madani K, Marino MA (2009) System dynamics analysis for managing Iran's Zayandeh-Rud river basin. Water Resources Management 23:2163-2187
- Maknoon R, Arbabi Bigdeli A (2009) Review of Iran water resources management policies with the approach of virtual water trade. The 8th International Conference of Civil Engineering, University of Shiraz, Shiraz, Iran (In Persian)
- Maknoon R, Sohrabi H (2011) Water footprint index from concepts to application. The Fourth Conference of Iran Water Resources Management, University of Amirkabir, Tehran, Iran (In Persian)
- Mekonnen M M, Hoekstra AY (2011) The green, blue and gray water footprint of crops and derived crop products. Hydrology and Earth System Sciences 15:1577-1600
- Ranjbar A, Footokian M (2014) Evaluating the trend of import and export of virtual water in Iran. International Conference on Environmental Science, Engineering and Technology, Tehran, Iran (In Persian)
- Rouhani N, Yang H, Amin Sichay S, Afyouni M, Mousavi SF, Kamkar A (2009) Assessment of virtual water and food trade considering water resources in
- Abran Consulting Engineers (2013) Master plan studies of supply and distribution of domestic and industrial water in Ardabil province. Fourth and fifth volumes (In Persian)
- Ahmad S, Prashar D (2010) Evaluation municipal water conservation policies using a dynamic simulation model. Water Resources Management 24:3371-3395
- Ahmad S, Simonovic SP (2000) System dynamics modeling of reservoir operation for flood management. Journal of Computing in Civil Engineering 3:190-198
- Allen JA (1998) Virtual water: a strategic resource, global solutions to regional deficits. National Ground Water Association 36(4):545-546
- Ardakanian R, Sohrabi R (2006) Virtual water trade: world literature and application in Iran. The Second Conference on Water Resources Management, Industrial University of Isfahan, Isfahan (In Persian)
- ARWMC: Ardabil Regional Water Resources Management Company (2013) Portrait of Ardabil Water Resources (In Persian)
- Ashofteh PS, Bozorg Haddad O, Akbari-Alashti H, Marino MA (2014) Determination of irrigation allocation policy under climate change by genetic programming. American Society of Civil Engineers, 04014059:1-12
- Daneshvar Vousoughi F, Dinipashoh Y, Alami MT (2012) Effect of drought on groundwater level in the past two decades (Case study: Ardebil Plain). Water and Soil Science 21(4):165-179 (In Persian)
- Dehghan Menshadi H, Niksokhan MH, Ardestani M (2015) A quantity-quality model for inter-basin water transfer system using game theoretic and virtual water approaches. Water Resources Management 29:4573-4588
- Elmahdi A, Malano H, Etchells T (2007) Using system dynamics to model water reallocation. Environmentalist 27:3-12
- Felfelani F, Jalali Movahed A, Zarghami M (2013) Simulating hedging rules for effective reservoir operation by using system dynamics: a case study of

- Sun S, Wang Y, Engel BA, Wu P (2016) Effects of virtual water flow on regional water resources stress: A case study of grain in China. *Science of the Total Environment* 550:871-879
- Ventana Simulation Environmental (2007) User's Guide Version 5, Ventana Systems, Ins
- Yang CC, Chang LC, Ho CC (2008) Application of system dynamics with impact analysis to solve the problem of water shortages in Taiwan. *Water Resource Management* 22:1561-1577
- Yang J, Lei K, Khu S, Meng W (2015) Assessment of water resources carrying capacity for sustainable development based on a system dynamics model. *Water Resource Management* 29:885-899
- Zarghami M, Amir Rahmani M (2015) Toward effective water diplomacy by using system dynamics: Case study. The 33<sup>rd</sup> International Conference of the System Dynamics Society, Cambridge, Massachusetts, USA
- Zarghami M, Fotookian MR, Safari N, Aslanzadeh A (2016) Reservoir operation using system dynamics under climate change impacts: A case study of Yamchi Reservoir, Iran. *Arabian Journal of Geosciences* 9:678. DOI 10.1007/s12517-016-2676-3
- Zarghami M, Safari N, Aslanzadeh A, Fotookian MR (2015) A system dynamics model to improve the supply and demand Management in Yamchi reservoir, Iran. Ardabil Regional Water Management Company, Technical Report (In Persian)
- Iran. Science and Technology of Agriculture and Natural Resources 12 (45):417-432 (In Persian)
- Sabouhi M, Soltani GR (2008) Optimization of cropping patterns in the catchment area with an emphasis on social benefits and virtual water imports. *Water and Soil Sciences* 12(43):297-313 (In Persian)
- Salavatbar A, Zarghami M, Abrishamchi A (2006) System dynamic model in Tehran urban water management. *Journal of Water and Wastewater* 17(3):12-28 (In Persian)
- Shafie Jood M, Abrishamchi A, Salavatbar A (2013) Evaluation of water resources development plans in multi-reservoir darehrood sub catchment system using performance indices. *Journal of Water and Wastewater* 24(3):22-32 (In Persian)
- Sheikh Khozani Z, Hosseini Kh, Rahimian M (2011) System dynamic modeling of multi-purpose reservoir operation. *Journal of Modeling in Engineering* 8(21):51-62 (In Persian)
- Simonovic SP, Rajasekaram V (2004) Integrated analyses of Canada's water resources: A system dynamics approach. *Canadian Water Resources Journal* 29(4):223-250
- Skebede S, Travi Y, Alemayehu T, Marc V (2005) Water balance of lake Tana and its sensitivity to fluctuations in rainfall, Blue Nile Basin, Ethiopia. *Journal of Hydrology* 316:233-247
- Sterman JD (2000) Business dynamics: system thinking and modeling for a complex world. McGraw-Hill, Boston